

深層強化学習による高周波加速電圧パターン生成の試み  
RCS 電圧パターンを題材に

田村文彦

J-PARC センター、日本原子力研究開発機構

2025 年 12 月

# Contents

1. はじめに

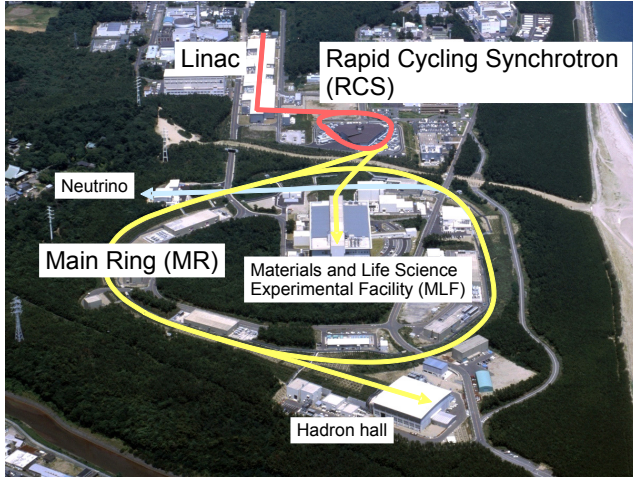
2. 電圧パターンの設定

3. 深層強化学習の適用

4. 実装

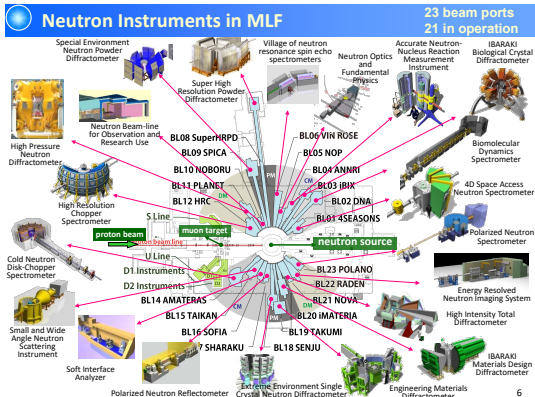
5. 今後

# 大強度陽子加速器施設 (J-PARC)

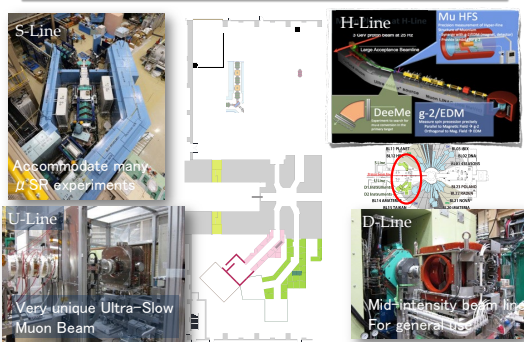


- 3つの加速器 (400 MeV linac、3 GeV RCS、30 GeV Main Ring) と 3つの実験施設 (物質生命科学実験施設 (MLF)、ハドロン、ニュートリノ)。大強度ビームで大量の二次粒子を発生
- RCS ビームは MR と MLF に導かれる

# 物質生命科学実験施設: MLF



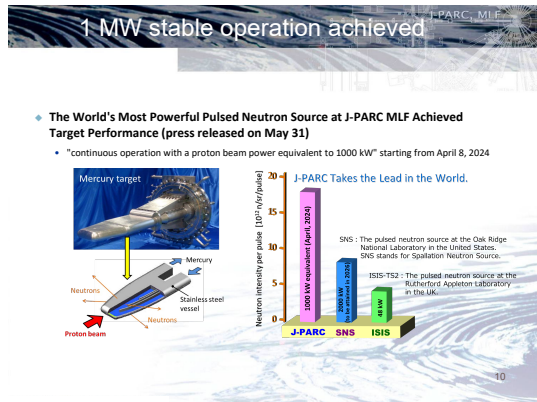
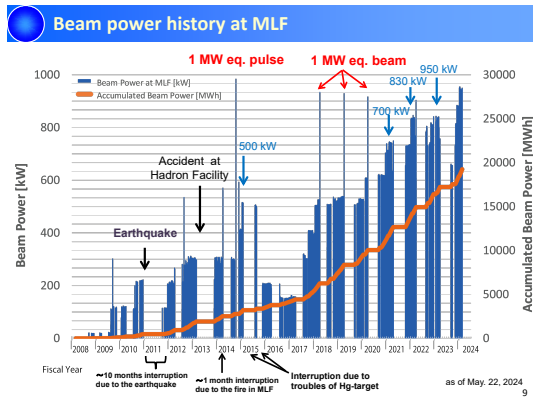
## Muon Facility MUSE @ MLF



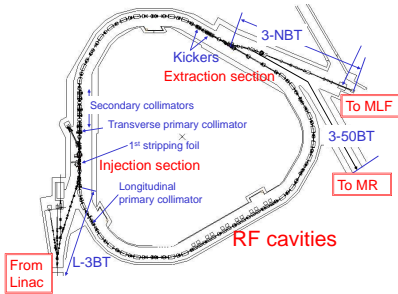
MLFには、核破碎中性子とミュオン源が設置されている。

- ・ 中性子: 20 以上のビームライン
- ・ ミュオン: 4 つ

# RCS は 2024 年に 1 MW ビームの安定供給を達成



# Rapid Cycling Synchrotron (RCS)



circumference	348.333 m
energy	0.400–3 GeV
beam intensity	$8.3 \times 10^{13}$ ppp
output beam power	1 MW
accelerating frequency	1.227–1.671 MHz
harmonic number	2
maximum rf voltage	440 kV
repetition rate	25 Hz
No. of cavities	12
Q-value of rf cavity	2

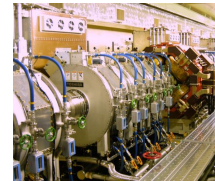
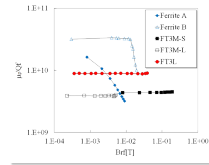
2 つの重要な要素:

## High $\gamma_t$ ラティス

- 加速中、縦方向ロスの原因となる  $\gamma_t$  トランジションがない
- スリッページファクタが小さくシンクロトロン振動が遅い

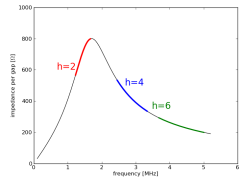
## 金属磁性体 (Magnetic Alloy、MA) 空洞の採用

- フェライト空洞の 2 倍電圧が出る
- 広帯域 ( $Q = 2$ )、無同調で加速周波数変化に対応
- 2 倍高調波重畠が可能

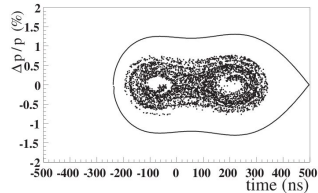


# 広帯域空洞の利点

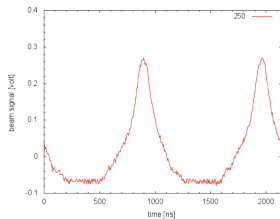
$Q = 2$  response:



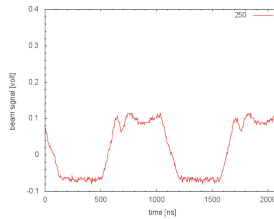
Simulated distribution:



Single harmonic:



Dual harmonic:



空洞に基本波と 2 倍高調波を重畠した電圧を発生させるデュアルハーモニック運転でバンチ整形を行い、空間電荷効果を緩和できる。

- 大強度ビーム加速に必須

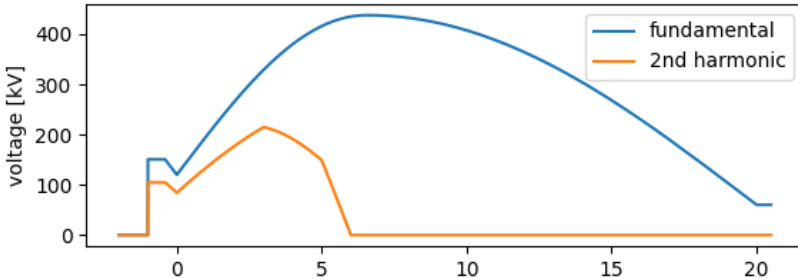
1. はじめに

2. 電圧パターンの設定

3. 深層強化学習の適用

4. 実装

5. 今後



如何にしてこのような電圧パターンを得ることができるのだろうか。

# 基本波のみの場合

BUNCHES WITH LOCAL ELLIPTIC ENERGY DISTRIBUTIONS  
A. Hofmann and F. Pedersen<sup>\*</sup>

## Introduction and Summary

This distribution fits well with distributions observed in proton synchrotrons and makes several analytical calculations for bunched beams in longitudinal space charge dominated regions. At low energy the self-force is the dominant force and the line density becomes proportional to the potential well. Self-force caused by space-charge and transverse motion is dominant at higher energy. The external force, causing calculation of bucket area reduction and bunch lengthening easy. The microwave instability threshold, as given by the Kondratenko criterion, is proportional to the bunch length and is independent of the azimuthal position along the bunch, and again analytical formulae are possible even for non-uniform energy distributions. The magnitude of the self-force and the microwave threshold turn out to be closely related, as the self-force is always zero when the microwave instability threshold is reached. The classical longitudinal space-charge limit can therefore only be reached within a factor of two. The paper also contains some numerical calculations including analytical formulae for the rigid dipole mode threshold, and creation of flat-topped bunches with reduced peak line density resulting in a higher transverse space-charge limit.

## Synchronous equation with an arbitrary waveshape

### The synchronous equations

$$\frac{dV}{dt} = -\frac{2\pi}{\lambda} \left( \frac{a}{\beta} \right)^2 [V(s) - V_0] \quad (1)$$

$$\frac{ds}{dt} = \frac{\beta}{2\pi} \left( \frac{a}{\lambda} \right)^2 V \quad (2)$$

can be derived from the Hamiltonian

$$H = \frac{p_V^2}{2m} - V^2 - \frac{a}{\lambda^2} U(s) \quad (3)$$

where  $U(s)$  is the potential

$$U(s) = \int_{s_1}^s [V(s') - V_0] ds = \int_{s_1}^s V(s') ds - V_0(s - s_1) \quad (4)$$

where  $V = \lambda L U_0 = (\lambda - L_0) U_0$ ;  $L = 1/V_0^2 = 1/k^2 = -d(V)/dp_V$ ;  $s_1$  is the energy gain per turn of the bunched particle;  $L_0, U_0, k$  are associated with revolution frequency and phase of the synchronous particle;  $V(s)$  is the accelerating wave shape, which has zero mean and periodicity  $2\pi$ ;  $a$  is the harmonic number;  $U(s)$  has zero mean, as the Hamiltonian of the synchronous particle is zero. There is area conservation in the  $(W, \phi)$  plane.

### The local elliptic energy distribution

The Hamiltonian being a constant of motion, a necessary and sufficient condition for a stationary (=time invariant) beam distribution is that the phase-space density  $g(W, \phi)$  can be written as a function of the Hamiltonian. If we choose

$$g(W, \phi) = \frac{d^2\phi}{dW^2} = g(R) = c_1 \sqrt{R^2 - W} \quad (5)$$

where  $R_0$  is the maximum of the extreme (= boundary) particle, we get as function of energy,

$$g(W, \phi) = c_1 \sqrt{\frac{R_0^2}{W}} \left( 1 - \frac{W}{R_0^2} \right)^{1/2} = \frac{c_1}{R_0} \sqrt{\frac{R_0^2}{W}} \left( 1 - \frac{W}{R_0^2} \right)^{1/2} \quad (6)$$

<sup>\*</sup>) CERN, Geneva, Switzerland.

where  $W_0(s)$  or  $\Sigma_0(s)$  is the bunch boundary in phase space. For any value of  $\phi$ , the density is an elliptic function of energy. The line density:

$$l(s) = \frac{2\pi}{\lambda} \int_{s_1}^s g(W_0(s')) ds' = c_1 [U(s) - U(s_1)] \quad (7)$$

has the same shape as the potential. Fig. 1  $U(s)$  is the potential at one end of the bunch, and  $c_1$  through  $c_3$  are constants.

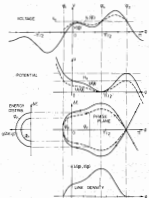


Fig. 1 Bunch with elliptic energy distribution

**Synchronous and inductive wall effects**  
At low frequencies (long bunches) the effective coupling impedance including space-charge forces is most likely reactive:

$$\frac{Z_m}{a} = j \omega L_m + \frac{c_1 R_0}{2\pi} = j \omega L_m \quad (8)$$

where  $\omega = \phi/dt$ ;  $L_m$  is the effective inductance. The space-charge force is thus equivalent to a negative, energy-dependent wall inductance. The induced voltage is therefore proportional to the derivative of the local current  $I(s)$  for a bunch extending from  $s_1$  to  $s_2$  with  $N_b$  particles per bunch, in

$$V(s) = \frac{2\pi}{\lambda} N_b \frac{R_0}{a} \frac{l(s)}{\sqrt{l(s)l(s')}} \quad (9)$$

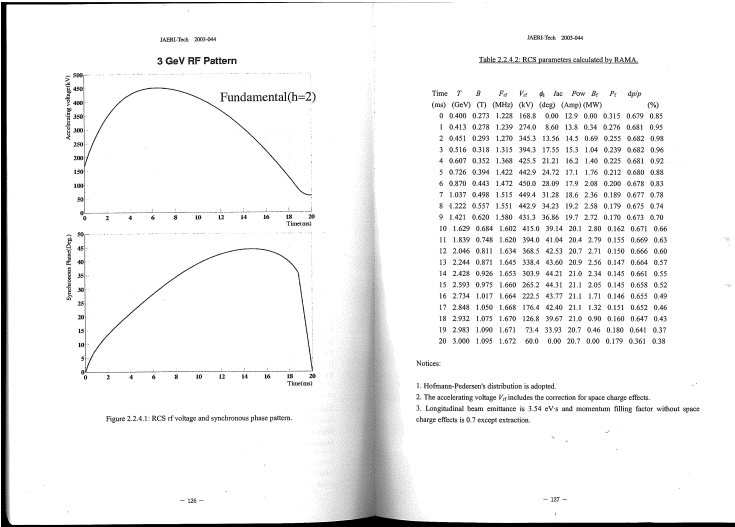
$$U(s_1, s_2) = \int_{s_1}^{s_2} [U(s) - V(s')] ds' \quad s_1 < s_2 \quad (10)$$

$$U(s) = c_1 \frac{2\pi}{\lambda} \frac{R_0}{a} + 2\pi c_2 \frac{R_0}{a} \frac{l(s)}{\sqrt{l(s)l(s')}} \quad (11)$$

基本波のみの場合は、陽子の位相空間分布が Hofmann-Pederesen 分布に従うとして、縦方向エミッタンスとモーメンタムフィリングファクターをパラメータとして加速中各時間の最適な電圧が解析的な式で計算できる。

- 超古い RAMA というコードが知られている
- 古いと言っても空間電荷による電圧減少まで考慮した優れ物

# J-PARC Technical Design Report より



- RAMA は adiabaticity には無頓着なので、この場合加速後半は使えないですが……。

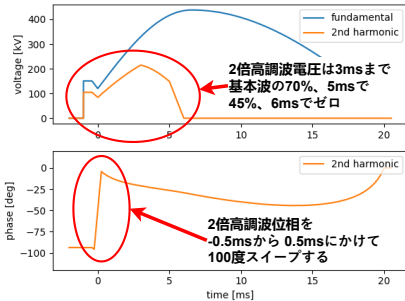
# 2倍高調波ありの場合

2倍高調波ありの場合、解析的な式は使えないで…、

1. 基本波の電圧を RAMA 等で決める
2. 2倍高調波の割合を設定する
3. 縦方向トラッキングシミュレーションを行い、位相空間分布やビームロス等を評価
4. パターン(2倍高調波割合、位相)を修正し、またシミュレーションを回す

と手間と時間をかけて行っている。

RCS の電圧パターンの例:



より平坦なビームを生成するために3倍、4倍高調波を加えるとすると、手間と時間は膨大。

深層強化学習で電圧パターンの最適化を行うことができるのではないか、と考えた。

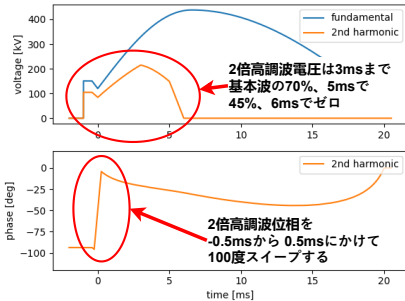
# 2倍高調波ありの場合

2倍高調波ありの場合、解析的な式は使えないで…、

1. 基本波の電圧を RAMA 等で決める
2. 2倍高調波の割合を設定する
3. 縦方向トラッキングシミュレーションを行い、位相空間分布やビームロス等を評価
4. パターン(2倍高調波割合、位相)を修正し、またシミュレーションを回す

と手間と時間をかけて行っている。

RCS の電圧パターンの例:



より平坦なビームを生成するために3倍、4倍高調波を加えるとすると、手間と時間は膨大。

深層強化学習で電圧パターンの最適化を行うことができるのではないか、と考えた。

1. はじめに

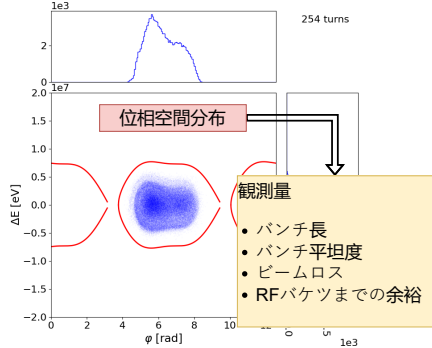
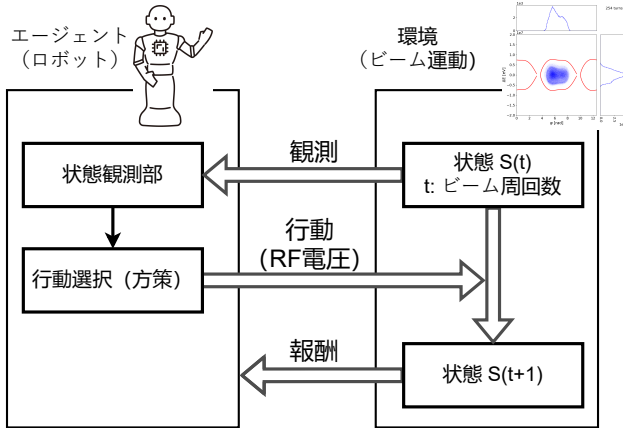
2. 電圧パターンの設定

3. 深層強化学習の適用

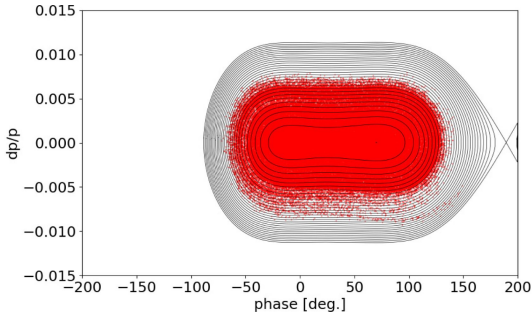
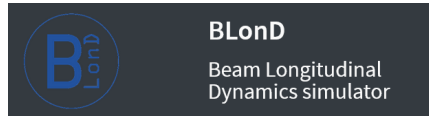
4. 実装

5. 今後

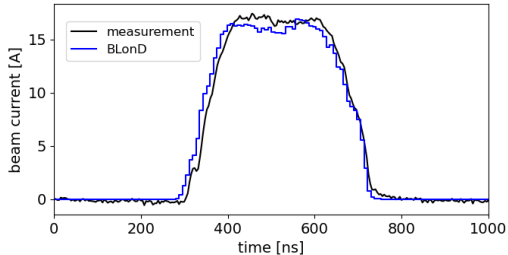
# 深層強化学習の適用



# 環境: BLonD による縦方向シミュレーション



BLonD シミュレーションで得られる RCS ビームの位相空間分布の例。



BLonD シミュレーションと実測のビーム波形の比較。よく一致する。

BLonD は RCS でのビーム挙動をよく再現できる。

# 構想

縦方向シミュレーションを環境として DRL を進めていけば、DRL は最適な行動 (最適な RF 電圧) を出力するようになるのではないか？

- 基本波のみの場合: エミッタンスとフィーリングファクターから、RAMA で答え合わせ可能
- 報酬:  $M_f$  や  $B_f$  所望の値 +10、ビームロス ( $dp/p > \text{limit}$ ) -10000 中途終了、などなど
- 基本波でうまく行ったならばデュアル、トリプルハーモックに拡張できるか？

1. はじめに

2. 電圧パターンの設定

3. 深層強化学習の適用

4. 実装

5. 今後

# 実装



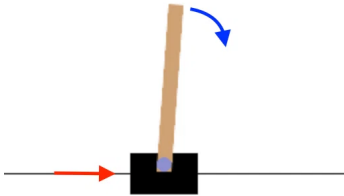
まだぜんぜん実装していないのが現状。

- 深層強化学習お勉強中

# 実装



き  
く  
か  
が  
く  
し  
+



まだぜんぜん実装していないのが現状。

- 深層強化学習お勉強中

今後

ともかく実装しますので、助言よろしくお願ひします。